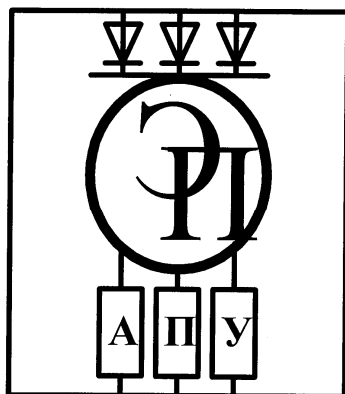


МЕЖГОСУДАРСТВЕННОЕ ОБРАЗОВАТЕЛЬНОЕ УЧРЕЖДЕНИЕ
ВЫСШЕГО ОБРАЗОВАНИЯ
«БЕЛОРУССКО-РОССИЙСКИЙ УНИВЕРСИТЕТ»

Кафедра «Электропривод и АПУ»

ЭЛЕКТРОТЕХНИЧЕСКОЕ И КОНСТРУКЦИОННОЕ МАТЕРИАЛОВЕДЕНИЕ

*Методические рекомендации к лабораторным работам
для студентов направления подготовки
13.03.02 «Электроэнергетика и электротехника»
очной формы обучения*



Могилев 2022

УДК 621.315.6
ББК 31.2
Э45

Рекомендовано к изданию
учебно-методическим отделом
Белорусско-Российского университета

Одобрено кафедрой «Электропривод и АПУ» «13» января 2022 г.,
протокол № 7

Составители: канд. техн. наук, доц. Г. С. Леневский;
канд. физ.-мат. наук О. В. Обидина;
ст. преподаватель Г. В. Лабкович

Рецензент канд. техн. наук С. В. Болотов

В методических рекомендациях приводятся краткие сведения о диэлектриках, проводниковых, полупроводниковых и магнитных материалах и сплавах и методика выполнения лабораторных работ по определению электрических и магнитных свойств. Рекомендовано для студентов направления подготовки 13.03.02 «Электроэнергетика и электротехника» очной формы обучения.

Учебно-методическое издание

ЭЛЕКТРОТЕХНИЧЕСКОЕ И КОНСТРУКЦИОННОЕ МАТЕРИАЛОВЕДЕНИЕ

Ответственный за выпуск	Г. С. Леневский
Корректор	И. В. Голубцова
Компьютерная верстка	Н. П. Полевничая

Подписано в печать . Формат 60x84/16. Бумага офсетная. Гарнитура Таймс.
Печать трафаретная. Усл. печ. л. . Уч.-изд. л. . Тираж 46 экз. Заказ №

Издатель и полиграфическое исполнение:
Межгосударственное образовательное учреждение высшего образования
«Белорусско-Российский университет».

Свидетельство о государственной регистрации издателя,
изготовителя, распространителя печатных изданий
№ 1/156 от 07.03.2019.

Пр-т Мира, 43, 212022, г. Могилев.

© Белорусско-Российский
университет, 2022

Содержание

Введение.....	4
1 Техника безопасности.....	5
2 Изучение устройства и принципа работы аппарата испытательно-го АВ-50/70-1.....	6
3 Лабораторная работа № 1. Определение электрической прочности воздуха в переменном и постоянном электрических полях.....	9
4 Лабораторная работа № 2. Определение электрической прочности жидких диэлектриков.....	15
5 Лабораторная работа № 3. Определение электрической прочности твердых диэлектриков.....	19
6 Лабораторная работа № 4. Исследование зависимости удельного электрического сопротивления сплавов от состава, строения, механической и термической обработки.....	22
7 Лабораторная работа № 5. Исследование электрических свойств материалов высокой проводимости и высокого сопротивления.....	27
8 Лабораторная работа № 6. Исследование магнитных свойств материалов с помощью осциллографа.....	32
9 Лабораторная работа № 7. Изучение неметаллических материалов.....	39
Список литературы.....	42

Введение

Развитие автомобильной промышленности требует применения новейших материалов, обладающих рядом особенностей характеристик, которые ранее не могли быть получены при использовании традиционных материалов. От правильного выбора соответствующих электротехнических материалов зависит надёжность, долговечность, качество работы, условия эксплуатации электрического оборудования. При решении конкретных инженерных задач часто приходится учитывать целый набор свойств материала (электропроводность, термическую стойкость, механическую прочность, коррозионную стойкость, особенности взаимодействия с магнитным полем и т. д.).

Современное предприятие, оснащённое электрооборудованием и различной аппаратурой, характеризуется непрерывно растущей энергонапряжённостью, а также тяжёлыми условиями эксплуатации машин (высокий вакуум, низкие или высокие температуры, агрессивные среды, высокая радиация и т. д.), которые предъявляют к материалам особые требования. Для удовлетворения этих условий создано много сплавов на основе различных металлов. Свойства материала определяются его внутренним строением, которое, в свою очередь, зависит от состава и характера предварительной обработки.

При выполнении лабораторных работ студенты изучают электрические характеристики диэлектрических и проводниковых материалов и методики их измерения, приобретают навыки для правильного использования проводников и сплавов при проектировании, ремонте, производстве, эксплуатации, испытаниях электротехнического оборудования. Устанавливают взаимосвязь между составом, строением и свойствами материалов. Изучают основные группы современных материалов, их свойства и область применения.

Результаты испытаний, их обработка и выводы оформляются в виде отчёта самостоятельно каждым студентом согласно предъявляемым к нему требованиям и обязательно представляются преподавателю к началу следующего занятия. В каждой работе имеются указания по содержанию отчёта. В отчёт по своему усмотрению студент может включить и дополнительный материал. Приводимые теоретические сведения по объёму содержащейся в них информации пригодны лишь для предварительного ознакомления с исследуемым вопросом и сознательного выполнения работы. Для фундаментального изучения явления или процесса необходимо пользоваться конспектом лекций или учебником.

Все измеренные и рассчитываемые данные (сопротивление, удельное электрическое сопротивление и др.) в отчёте должны быть представлены в единицах системы СИ.

1 Техника безопасности

1.1 К установкам высокого напряжения относятся те устройства, в которых напряжение относительно земли превышает 1000 В.

1.2 Все лица, работающие и обучающиеся в лаборатории на установках высокого напряжения, обязаны твёрдо знать и строго соблюдать требования техники безопасности к установкам высокого напряжения, инструкции по технике безопасности, а также правила освобождения пострадавшего от действия электрического тока и оказания ему первой помощи.

1.3 **Внимание! При выполнении всех лабораторных работ по данным методическим рекомендациям первый опыт проводится при непосредственном участии преподавателя.**

1.4 Без разрешения преподавателя запрещается включать лабораторное оборудование в сеть.

1.5 Перед проведением **всех лабораторных работ по данным методическим рекомендациям** необходимо проверить состояние и исправность заземления.

1.6 **Запрещается** выполнять лабораторные работы без прохождения инструктажа по технике безопасности.

1.7 Выполнять лабораторные работы разрешается в составе подгруппы. Количество студентов в подгруппе – не менее двух человек.

1.8 **Запрещается** во время выполнения **всех лабораторных работ** находиться внутри ограждения высоковольтной установки.

1.9 **Запрещается** во время выполнения **всех лабораторных работ** открывать дверь ограждения высоковольтной испытательной установки.

1.10 **Запрещается** во время выполнения **всех лабораторных работ «включать-выключать»** высоковольтную испытательную установку, за исключением тех операций, что предусмотрены данными методическими рекомендациями.

1.11 **Запрещается** во время выполнения **всех лабораторных работ** и непосредственно проведения высоковольтных испытаний **громко разговаривать и ходить по лаборатории.**

1.12 Если во время выполнения **всех лабораторных работ** и непосредственно проведения высоковольтных испытаний возникает и (или) возникнет аварийная ситуация, **необходимо немедленно отключить от питающей сети** высоковольтную испытательную установку.

Для этого использовать следующие элементы:

- выключатель автоматический QF1, установлен на стене лаборатории;
- сетевая вилка со шнуром XP1 и сетевая розетка XS1. Сетевая розетка XS1 установлена на стене лаборатории.

2 Изучение устройства и принципа работы аппарата испытательного АВ-50/70-1

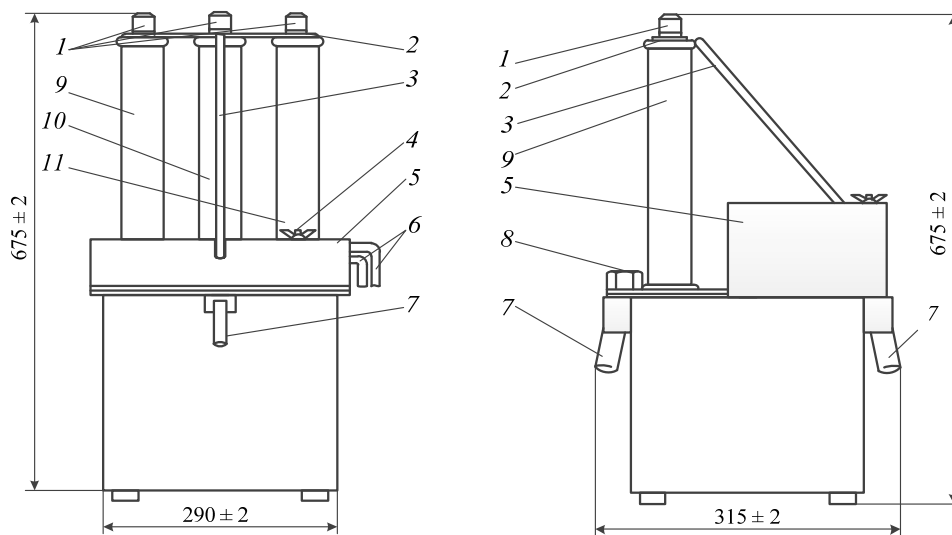
2.1 Назначение, устройство и принцип работы аппарата АВ-50/70-1

Исследование характеристик газообразных, жидких и твердых диэлектриков проводится в специализированной испытательной лабораторной электротехнической установке на базе аппарата испытательного АВ-50/70-1.

Аппарат испытательный АВ-50/70-1 предназначен для испытания изоляции силовых кабелей и твердых диэлектриков выпрямленным электрическим напряжением, а также твердых диэлектриков синусоидальным электрическим напряжением частотой 50 Гц.

Аппарат выполнен в виде двух переносных блоков, соединённых кабелем: блока высокого напряжения (БВН) и блока управления (БУ) (рисунки 1 и 2).

БВН включает в себя трансформатор высоковольтный TV1, переключатель высоковольтный Q1, резисторы высоковольтные R3–R9, выпрямительные столбы A1–A7, заземлитель Q2 и другие элементы.



1 – клеммы для подключения высокого напряжения; 2 – перемычка; 3 – штанга заземлителя; 4 – клемма для подключения заземлителя; 5 – кожух; 6 – подключающие кабели; 7 – откидывающиеся ручки; 8 – пробка для залива масла; 9 – выпрямительные столбы A1–A7; 10 – делитель; 11 – перемычка

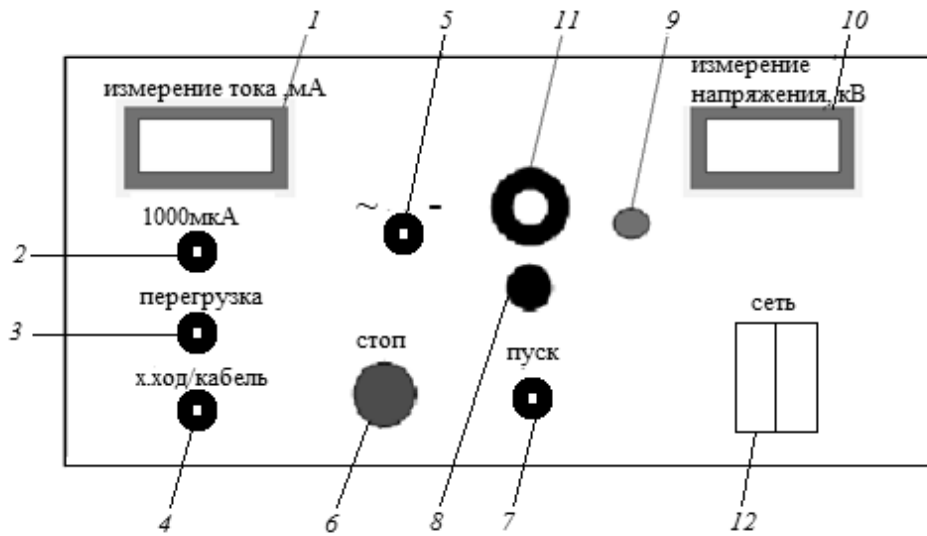
Рисунок 1 – Блок высокого напряжения АВ-50/70-1

БУ включает в себя регулятор испытательного напряжения TV1, разъёмы для подключения сетевого кабеля и кабеля БВН, электромагнитный пускатель и другие элементы электрической схемы, расположенные в блоке и на печатной плате.

Схема принципиальная электрическая аппарата представлена на рисунке 3.

Напряжение питающей сети подводится к БУ посредством сетевого кабеля, снабжённого разъёмом, далее через автоматы QS1 оно подаётся на схему аппара-

та. При включении автоматов QS1 загорается зелёная сигнальная лампа HL1.



1 – миллиамперметр PA1; 2 – кнопка переключения пределов измерения SB5; 3 – светодиод «перегрузка»; 4 – переключатель SB4 «х.ход/кабель»; 5 – переключатель SB6 «~/-»; 6 – кнопка S3 «стоп»; 7 – кнопка S2 «пуск»; 8 – красная сигнальная лампа HL2; 9 – зелёная сигнальная лампа HL1; 10 – киловольтметр PV1; 11 – регулятор напряжения TV1; 12 – сетевые автоматы

Рисунок 2 – Внешний вид передней панели блока управления АВ-50/70-1

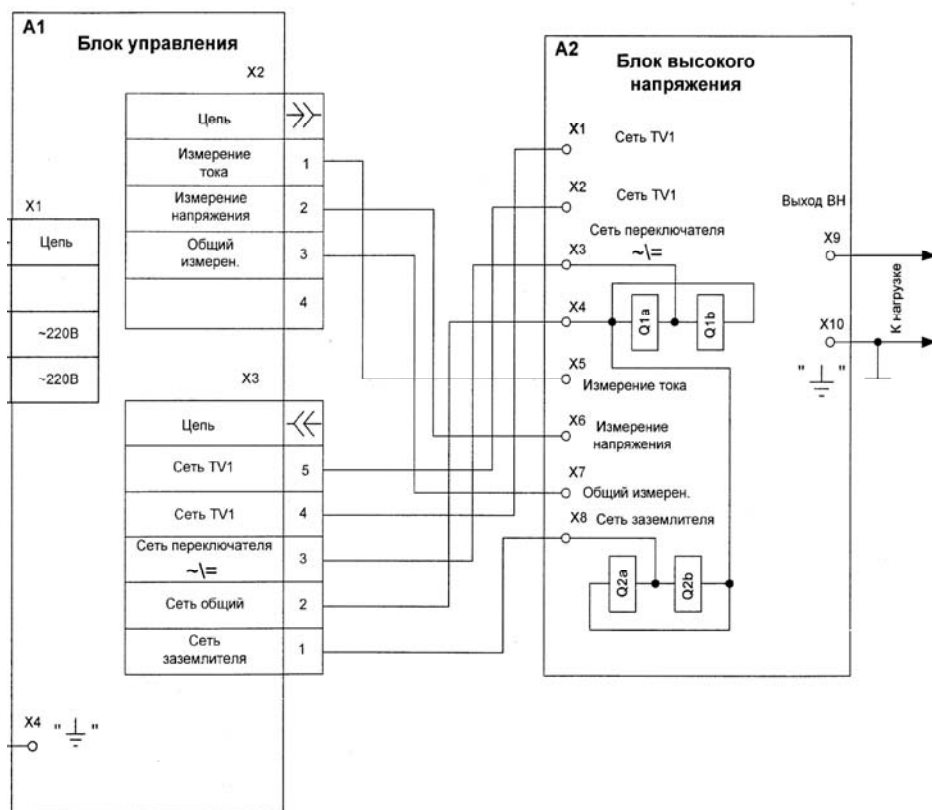


Рисунок 3 – Схема соединения аппарата испытательного АВ-50/70-1

При установке переключателя SB6 «~/-» в положение «~» напряжение на электромагниты высоковольтного переключателя не подаётся, выпрямленные столбы А1–А7 шунтируются и на выходе БВН появляется переменное напряжение. В том случае, когда переключатель SB6 «~/-» находится в положении «-», срабатывают электромагниты высоковольтного переключателя Q1 и на выходе БВН будет получено постоянное напряжение.

Включение испытательного напряжения производится нажатием кнопки S2 «пуск» при условии, что щётка регулятора напряжения находится в нулевом положении (контакт SB2 замкнут), при этом загорается красная сигнальная лампа HL2.

Величина испытательного напряжения устанавливается при помощи ручки регулятора напряжения TV1, а контролируется киловольтметром PV1.

Трансформатор T1 совместно с резисторами и диодом предназначен для компенсации токов утечки источника испытательного напряжения. Ток нагрузки измеряется цифровым измерителем PA1 в диапазоне измерения 0...1 мА (1000 мкА) при нажатой кнопке SB5 «1000 мкА» и в диапазоне 0...40 мА – при ненажатой.

Высоковольтные резисторы в БВН служат для измерения испытательного напряжения.

Измерительный прибор PV1 (киловольтметр) применяется для измерения выпрямленного напряжения. Киловольтметр градуируется при помощи резистора R22 «U~» при работе на переменном напряжении; при работе на выпрямленном напряжении: на холостом ходу – резистором R21 «U_{хх}», а при испытании силовых кабелей или ёмкостной нагрузки на выпрямленном напряжении – сопротивлением R20 «U_{каб}».

В случае подключения на выпрямленное напряжение ёмкостной нагрузки (например, силового кабеля, имеющего ёмкость более 750 пФ), переключатель SB4 должен находиться в положении «кабель». Ориентировочная ёмкость 1 км кабеля – 1 мкФ. При испытании изоляции диэлектриков (ёмкость объекта до 100 пФ) переключатель S2 должен быть в положении «х. ход».

В аппарате предусмотрена защита от токов перегрузки, которая отключает его при токе нагрузки (32 ± 2) мА.

По окончании испытания силового кабеля для снятия остаточного заряда регулятор напряжения выводится в нулевое положение, переключатель SB4 переводится в положение «~». При этом остаточный ёмкостный заряд испытуемого объекта разряжается через вторичную обмотку трансформатора TV1 (БВН) на землю. Отсутствие остаточного заряда можно контролировать киловольтметром PV1. После этого аппарат отключается кнопкой S3 «стоп».

Время срабатывания устройства АВ-50/70-1 при внезапном прекращении сетевого питания (или случайном нажатии кнопки «стоп») подобрано так, что сначала замкнётся переключатель Q1 и разрядит объект через обмотку трансформатора TV1, а затем через 0,3...1 с сработает заземлитель Q2. Этим достигается уменьшение амплитуды разрядного тока через заземлитель Q2 в аварийных ситуациях.

3 Лабораторная работа № 1. Определение электрической прочности воздуха в переменном и постоянном электрических полях

Цель работы

1 Изучить физические процессы, протекающие при пробое газообразных диэлектриков в переменном электрическом поле.

2 Ознакомиться с особенностями протекания пробоя в условиях резконеоднородного электрического поля при различных полярностях электродов в постоянном электрическом поле.

3 Определить зависимость электрической прочности воздуха от расстояния между электродами в однородном и неоднородном электрических полях.

3.1 Краткие теоретические сведения

Во многих электротехнических конструкциях газообразные диэлектрики выполняют роль естественной внешней изоляции. В качестве газообразных изоляционных материалов в зависимости от условий эксплуатации и требований, предъявляемых к данной конструкции, может использоваться воздух, азот, водород, вакуум, инертные газы и углекислый газ.

В высоковольтной аппаратуре используются газообразные диэлектрики, в составе которых содержатся электроотрицательные элементы, такие как фтор или хлор. Положительной стороной воздуха, как диэлектрика, является восстановление электрической прочности после пробоя, незначительное изменение диэлектрической проницаемости при изменении температуры и давления и малые диэлектрические потери.

К отрицательным свойствам относятся: низкая теплопроводность, низкая электрическая прочность, способность увлажняться, образовывать окислы, поддерживать горение.

В зависимости от приложенного напряжения в диэлектрике может возникнуть полный, неполный или частичный пробой. На границе раздела фаз на поверхности твердого диэлектрика и воздуха происходит поверхностный пробой.

Пробой газообразных диэлектриков всегда начинается с ударной ионизации и имеет чисто электрическую форму. Кроме механизма электронной ударной ионизации, при различных условиях возможно возникновение фотоионизации, термоионизации и поверхностной ионизации.

Для возникновения ударной ионизации необходимо, чтобы энергия движущихся зарядов (электронов) W была выше энергии ионизации W_u молекулы. При выполнении условия $W \geq W_u$ произойдет расщепление молекулы на положительный ион и электрон. С каждым последующим актом ионизации количество свободных электронов удваивается. В направлении анода со скоростью примерно $(1...3) \cdot 10^6$ м/с движется электронная лавина. Электронная ударная ионизация для каждого газообразного диэлектрика начинается при определённом

ной напряжённости поля, величина которой зависит от температуры, давления и частоты напряжения.

Если $W \leq W_u$, то молекула не распадается на ион и электрон, а переходит в возбужденное состояние, т. е. один из ее электронов перейдет на более высокий энергетический уровень. Это состояние молекулы является неустойчивым, и спустя примерно 10^{-8} с электрон вернется на прежний энергетический уровень, а молекула испустит квант света (фотон). Сталкиваясь с нейтральной молекулой, фотон также может ее ионизировать, вызывая новую лавину, расположенную далеко впереди фронта родительского участка лавины. Этот процесс называется фотоионизацией. В направлении анода прямолинейно движутся основная лавина и дочерние лавины, которые, сливаясь, образуют зигзагообразный стример, и одновременно в сторону катода движется электроположительный стример.

Электрическая прочность – это минимальная напряженность однородного электрического поля, при которой происходит пробой диэлектрика, а напряжение, при котором возникает пробой, – пробивное напряжение.

$$E_{np} = U_{np} / h, \quad (1)$$

где E_{np} – электрическая прочность, В/мм (кВ/см, МВ/м);

U_{np} – пробивное напряжение, В;

h – толщина диэлектрика в месте пробоя, м.

Электрическая прочность воздуха не является величиной постоянной, а зависит от давления, относительной влажности, формы электродов и расстояния между ними, от вида напряжения, а также от полярности электродов (рисунки 4 и 5).

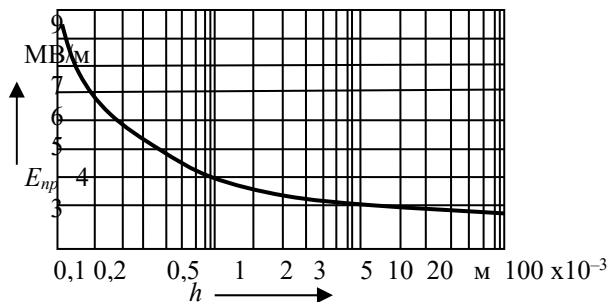


Рисунок 4 – Зависимость электрической прочности воздуха от расстояния между электродами в однородном поле при нормальных условиях $f = 50$ Гц, $t = 20$ °С, $p \approx 0,1$ МПа

Неоднородное электрическое поле возникает между электродами типа «стержень – плоскость» и «стержень – стержень», в газоразрядных приборах, между контактами реле, между проводами линий электропередачи.

Пробой газа в неоднородном электрическом поле отличается от пробоя в однородном электрическом поле по величине пробивного напряжения U_{np} и по характеру развития самого процесса пробоя. Пробой газа в неоднородном поле,

как правило, происходит при меньшем пробивном напряжении по сравнению с пробоем того же слоя газа в однородном электрическом поле.

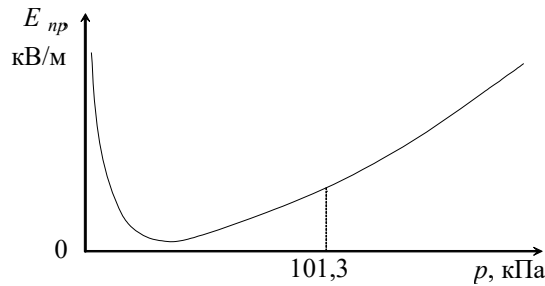


Рисунок 5 – Зависимость электрической прочности воздуха от давления

Области с высокой напряженностью электрического поля часто образуются вследствие неоднородности электрического поля, возникающей:

- при выборе неверных параметров в процессе конструирования;
- в результате загрязнений, возникающих в процессе работы;
- в результате механических повреждений и износа оборудования.

Пробоем газа в неоднородном поле предшествует возникновение коронного разряда, который сопровождается свечением и разрушением молекул и является фактически неполным пробоем.

Коронный разряд – это явление, связанное с ионизацией воздуха в электрическом поле с высокой напряженностью (свечение газов в неоднородном электрическом поле высокой напряженности). При дальнейшем повышении напряжения корона перерастает в кистевой разряд, который затем переходит в искровой, а далее – в дуговой.

Условия возникновения короны и пробоя газа в неоднородном поле зависят от полярности напряжения, приложенного к стержневому электроду. В случае электродов типа «стержень – плоскость», создающих резко неоднородное поле, $U_{пр}$ газов будет наименьшим при положительной полярности стержня и наибольшим – при отрицательной полярности стержня (рисунок 6). При увеличении влажности пробивное напряжение воздушного промежутка возрастает.

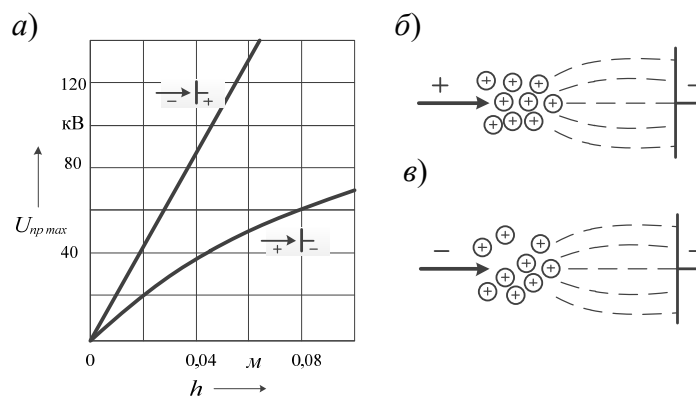
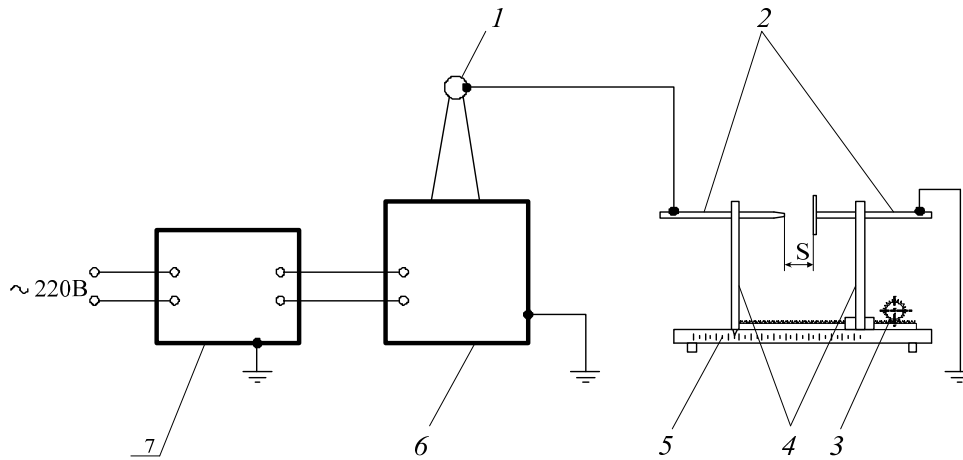


Рисунок 6 – Зависимости пробивного напряжения воздуха от расстояния между электродами в неоднородном поле (а) и модель объемного заряда в разрядном промежутке при положительной (б) и отрицательной (в) полярности на игле

3.2 Описание испытательной установки

Исследование разрядных напряжений воздушных промежутков производится с помощью станда, схема которого показана на рисунке 7.



1 – высоковольтный вывод; 2 – электрод; 3 – шестерня; 4 – стойки; 5 – мерная линейка; 6 – источник испытательного напряжения; 7 – блок управления

Рисунок 7 – Схема станда для определения разрядных напряжений воздушных промежутков

К высоковольтному выводу 1 источника испытательного напряжения 6 присоединяется один из электродов 2, изготовленных из нержавеющей стали и закреплённых в стойках 4 из диэлектрического материала; другой электрод заземляется. Расстояние между электродами определяется мерной линейкой 5 и изменяется вращением шестерни 3 посредством изолирующего стержня. Включение и отключение испытательного напряжения, а также регулирование его величины производится с помощью блока управления 7, установленного снаружи ограждённой зоны испытаний. В качестве источника испытательного напряжения применяется аппарат АВ-50/70-1.

3.3 Содержание и объём выполнения работы

Ознакомиться со схемой испытательной установки.

Изучить меры по технике безопасности.

Подготовить таблицы для внесения результатов измерений.

Объём проводимых на лабораторных занятиях испытаний определяет преподаватель. Для испытаний используют сменные наборы электродов («плоскость – плоскость», «сфера – плоскость», «игла – плоскость»), позволяющие создавать различные формы электрических полей для испытания диэлектриков, на напряжении переменного тока.

3.4 Порядок выполнения работы

3.4.1 При выключенной установке закрепить электроды на разряднике и установить необходимое расстояние между ними.

3.4.2 Вращая ручку регулятора испытательного напряжения против часовой стрелки, установить ее в исходное положение до упора.

3.4.3 Включить сетевые автоматы.

3.4.4 Тумблером «~/-» включить необходимый вид испытательного напряжения.

3.4.5 Включить испытательное напряжение кнопкой «пуск», при этом должна загореться красная сигнальная лампочка.

3.4.6 Приступить к эксперименту, плавно повышая напряжение со скоростью не более 1...2 кВ/с; в момент пробоя воздушного промежутка и после пробоя заметить показания киловольтметра. После пробоя записать показания вольтметра PV1 (при необходимости РА1) в таблицу 1.

Внимание! Первый опыт проводится при непосредственном участии преподавателя.

3.4.7 По окончании испытания, вращая ручку регулятора испытательного напряжения против движения часовой стрелки, установить её в исходное положение до упора.

3.4.8 Для каждого расстояния опыт повторить 3 раза и пробивное напряжение определить как среднеарифметическое результата трёх измерений. Результаты испытаний занести в таблицу 1.

Полученные значения пробивных напряжений U_{np} , кВ, привести к нормальным атмосферным условиям (давление 760 мм рт. ст., температура 20 °С) по формуле

$$U_{np} = U_{np.0} \cdot \delta, \quad (2)$$

где U_{np} – пробивное напряжение в условиях опыта, кВ;

$U_{np.0}$ – пробивное напряжение при нормальных условиях, кВ;

δ – относительная плотность воздуха,

$$\delta = \frac{0,386 p}{t + 273}, \quad (3)$$

где p – барометрическое давление в условиях опыта, мм рт. ст.;

t – температура воздуха в условиях опыта, °С.

Далее рассчитать средние значения электрической прочности E_{np} по формуле (1). Результаты измерений и расчетов свести в таблицы 1 и 2.

Таблица 1 – Результаты исследования электрической прочности воздуха в однородном и слабооднородном электрических полях

Номер опыта	Тип электрода	h , м	U_{np} , кВ				$U_{np.0}$, кВ	E_{np} , МВ/м
			1	2	3	Среднее		
	Плоскость – плоскость	0,01						
		0,02						
		0,03						
		0,04						
	Шар – плоскость	0,01						
		0,015						
		0,02						
		0,025						

Таблица 2 – Результаты исследования электрической прочности воздуха в неоднородном электрическом поле (игла – плоскость)

Номер опыта	Игла отрицательная					h , м	Плоскость отрицательная				
	U_{np} , кВ				E_{np} , МВ/м		U_{np} , кВ				E_{np} , МВ/м
	1	2	3	Среднее			1	2	3	Среднее	
						0,01					
						0,02					
						0,03					
						0,04					

3.5 Содержание отчёта

Отчёт должен содержать:

- цель работы;
- электрическую схему и описание установки АВ-50/70-1;
- основные расчётные формулы и примеры вычислений с указанием размерности определяемых величин;
- таблицы результатов измерений, графики зависимостей $U_{np} = f(h)$ и $E_{np} = f(h)$;
- выводы о влиянии расстояния между электродами, формы и полярности электродов на величину пробивного напряжения и электрической прочности.

Контрольные вопросы

- 1 Какая форма электродов и при каких условиях даёт максимальную стабильность электрической прочности воздуха?
- 2 Почему диэлектрики теряют электрическую прочность? Какие параметры характеризуют пробой? Поясните механизм пробоя воздуха.
- 3 Дайте определение электрического пробоя и электрической прочности

диэлектрика.

4 Объясните механизм пробоя газообразных диэлектриков.

5 Как зависит электрическая прочность газообразных диэлектриков от давления?

6 Каковы преимущества газообразных диэлектриков перед остальными видами электроизоляционных материалов?

7 В каких электротехнических устройствах в качестве диэлектрика используется воздух? Объясните, почему в качестве электроизоляционных материалов используются другие газы. Приведите примеры.

8 Процесс образования стримерного разряда.

9 Как влияет полярность электродов на величину пробивного напряжения в резконеоднородном электрическом поле?

10 Что собой представляет коронный разряд?

11 Почему при развитии разряда образовывается облако положительных ионов?

12 Какое влияние оказывает барьер на электрическую прочность промежутка при различных полярностях электродов?

4 Лабораторная работа № 2. Определение электрической прочности жидких диэлектриков

Цель работы

1 Ознакомиться с основными физическими и электрическими характеристиками жидких диэлектриков.

2 Изучить методику измерения и экспериментальное исследование электрической прочности жидких диэлектриков.

4.1 Краткие теоретические сведения

Жидкие диэлектрики используют для пропитки кабелей высокого напряжения, конденсаторов, для заливки трансформаторов, выключателей и вводов. Кроме этого, они выполняют функции теплоносителя в трансформаторах, дугогасителя в выключателях и др. В качестве жидких диэлектриков наибольшее распространение получили нефтяные электроизоляционные масла и синтетические диэлектрики.

Нефтяные масла состоят в основном из сложной смеси углеводородов разного строения: нафтеновых, ароматических и парафиновых, сернистых соединений, небольшого количества кислород- и азотсодержащих соединений, а также следов металлоорганических соединений. От процентного состава этих углеводородов зависит стойкость масел к окислению, газостойкость, а также вязкостно-температурные, физико-химические и электрические характеристики масел.

Механизм пробоя жидких диэлектриков и значения электрической прочно-

сти зависят от вида жидкого диэлектрика, степени его очистки, наличия в нём влаги и газа.

Электрический пробой в «чистом» виде возможен только в тщательно очищенных жидких диэлектриках и происходит за счет сочетания двух процессов: ударной ионизации электронами и холодной эмиссии с катода.

Электрическая прочность жидких диэлектриков зависит от температуры, давления, частоты и формы напряжения, формы и материала электродов, а также от наличия примесей.

В технически чистых диэлектриках имеет место электротепловой пробой.

Электрическая прочность жидких диэлектриков зависит от однородности электрического поля: с увеличением неоднородности электрического поля пробивное напряжение снижается. В неоднородном поле в жидкости может возникнуть неполный пробой (корона). Под действием короны происходят процессы интенсивного разложения и образования продуктов распада (горючих газов и сажи), которые резко снижают электрическую прочность. При переходе коронного разряда в дуговой процессы разложения резко ускоряются.

4.2 Описание испытательной установки

Исследование электрической прочности трансформаторного масла в однородном электрическом поле производится с помощью стенда, схема которого показана на рисунке 7.

В соответствии с Правилами технической эксплуатации (ПТЭ) электрические свойства чистого сухого и эксплуатационного масел оцениваются по пробивному напряжению. Испытание масла на пробой производится между латунными дисковыми плоскими электродами диаметром 25 мм, расположенными внутри стандартного фарфорового сосуда на расстоянии 2,5 мм. Поверхность жидкого диэлектрика должна отстоять от верхнего края электродов не менее чем на 15 мм. Края электродов закруглены (рисунок 8).

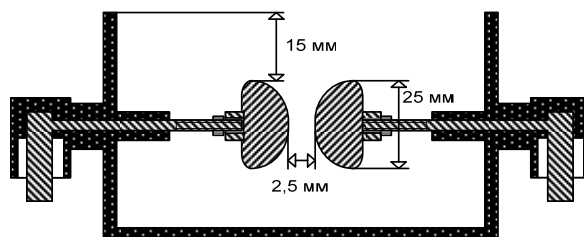


Рисунок 8 – Схема стандартного разрядника

4.3 Содержание и объём выполнения работы

Ознакомиться со схемой испытательной установки. Описание устройства и принципа работы аппарата АВ-50/70-1 представлено в разделе 2.

Изучить меры по технике безопасности.

Подготовить таблицу для внесения результатов измерений.

Объём проводимых на лабораторных занятиях испытаний определяет преподаватель.

4.4 Порядок выполнения работы

4.4.1 Залить в сосуд необходимое для испытания количество жидкого диэлектрика. Дать отстояться жидкому диэлектрику в течение 5...10 мин, для того чтобы из него вышли пузырьки воздуха. Подключить электроды к высоковольтным шинам.

4.4.2 Вращая ручку регулятора испытательного напряжения против часовой стрелки, установить ее в исходное положение до упора.

4.4.3 Включить сетевые автоматы. Тумблером «~/-» включить необходимый вид испытательного напряжения.

4.4.4 Включить испытательное напряжение кнопкой «пуск», при этом должна загореться красная сигнальная лампочка.

4.4.5 Приступить к эксперименту, плавно повышая напряжение со скоростью не более 1...2 кВ/с; в момент пробоя заметить показания киловольтметра. После пробоя записать показания вольтметра PV1 (при необходимости PA1) в таблицу 3.

4.4.6 По окончании испытания, вращая ручку регулятора испытательного напряжения против движения часовой стрелки, установить её в исходное положение до упора. Затем отключить аппарат, нажав кнопку «стоп».

4.4.7 Повторить 6 раз опыт определения U_{np} . После каждого пробоя жидкому диэлектрику дать отстояться в течение 5 мин. Результаты опытов занести в таблицу 3.

Таблица 3 – Определение электрической прочности жидкого диэлектрика

Номер опыта	Расстояние между электродами h , мм	Пробивное напряжение U_{np} , кВ	Среднее значение $U_{np. ср}$, кВ	Электрическая прочность E_{np} , МВ/м
1				
2				
3				
4				
5				

Среднее арифметическое значение пробивного напряжения \bar{U}_{np} , кВ, рассчитать по формуле

$$\bar{U}_{np} = \frac{1}{n} \sum_{i=1}^n U_{np.i}, \quad (4)$$

где $U_{np.i}$ – величина пробивного напряжения в i -м опыте (напряжение первого пробоя в расчет не принимается), кВ;

n – число опытов.

Значение коэффициента вариации σ_u вычислить по формуле

$$\sigma_u = \sqrt{\frac{\sum_{i=1}^n (U_{np.i} - \bar{U}_{np})^2}{n(n-1)}}. \quad (5)$$

Значение пробивного напряжения должно отвечать нормированному значению коэффициента вариации V , вычисленного по формуле

$$V = \frac{\sigma_u \cdot 100}{\bar{U}_{np}}. \quad (6)$$

Если значение коэффициента вариации превышает 20 %, то в этом случае дополнительно производят еще одно заполнение испытательной ячейки порцией жидкости из того же сосуда с пробой жидкости, проводят еще шесть определений пробивного напряжения и для расчета по формулам (4)–(6) число пробов n берут равным 12. Если и в этом случае коэффициент вариации превышает 20 %, качество диэлектрика следует считать неудовлетворительным.

Электрическая прочность трансформаторного масла рассчитывается по формуле

$$E_{np} = \frac{\bar{U}_{np}}{h}, \quad (7)$$

где h – расстояние между электродами, м.

Результаты испытания масла занести в таблицу 3.

После подсчета среднего значения пробивного напряжения на основании предельных допустимых значений показателей качества трансформаторного масла сделать вывод о пригодности масла для использования в электроустановках различных классов напряжения.

4.5 Содержание отчёта

Отчёт должен содержать:

- цель работы;
- электрическую схему и описание установки АВ-50/70-1;
- основные расчетные формулы и примеры вычислений с указанием размерности определяемых величин;
- таблицу результатов испытаний;
- график разброса значений пробивного напряжения от порядкового номера опыта, построенного по данным таблицы 3;
- выводы о пригодности испытанного жидкого диэлектрика.

Контрольные вопросы

- 1 Какие параметры трансформаторного масла изменяются в процессе старения? Какие факторы ускоряют или замедляют процесс старения?
- 2 Как влияет температура на пробивное напряжение трансформаторного масла?
- 3 Как влияют характер примесей и степень очистки жидких диэлектриков на их электрическую прочность?
- 4 Каковы объём и нормы испытаний для изоляционного масла?
- 5 Как производятся очистка и сушка масла?
- 6 Какое влияние оказывает процентное содержание различных рядов углеводородов на электрические и физико-химические характеристики трансформаторного масла?
- 7 Какова зависимость $\tan\delta$ от частоты и температуры для полярных и неполярных жидкостей?
- 8 Какие функции выполняют жидкие диэлектрики в электроустановках?
- 9 От каких факторов зависит электрическая прочность жидких диэлектриков?

5 Лабораторная работа № 3. Определение электрической прочности твердых диэлектриков

Цель работы

- 1 Исследовать зависимость электрической прочности твердых диэлектриков от толщины диэлектрика.
- 2 Изучить явления образования и развития разряда вдоль поверхности твердого диэлектрика в воздухе.

5.1 Основные теоретические сведения

В твёрдых диэлектриках может возникнуть четыре вида пробоя: электрический, электротепловой, ионизационный и электрохимический, которые могут проявляться у одного и того же диэлектрика в зависимости от его состояния и внешних условий – наличия дефектов, в том числе пор, охлаждения, времени воздействия напряжения, характера электрического поля (постоянное, переменное или импульсное, низкой или высокой частоты) и т. п.

Электрический пробой имеет место, когда исключено влияние электропроводности и диэлектрических потерь, обуславливающих нагрев материала, а также отсутствует ионизация газовых включений. Он наблюдается у большинства диэлектриков при кратковременном (импульсном) воздействии напряжения. На практике электрический пробой твердых диэлектриков обычно происходит при попадании в электроустановку грозового разряда (молнии) или в результате коммутационных перенапряжений.

Электротепловой (тепловой) пробой возможен, когда выделяющееся в диэлектрике за счёт электропроводности и диэлектрических потерь тепло становится больше отводимой в окружающую среду теплоты. В результате в месте пробоя происходит разогрев диэлектрика, сопровождающийся образованием узкого проплавленного канала высокой проводимости. Пробивное напряжение при тепловом пробое зависит от ряда факторов: частоты поля, условий охлаждения, температуры окружающей среды и др. Кроме того, напряжение теплового пробоя связано с нагревостойкостью материала.

Ионизационный пробой – это пробой, обусловленный ионизационными процессами вследствие частичных разрядов в диэлектрике. Он наиболее характерен для диэлектриков с воздушными включениями. При больших напряжениях поля в воздушных порах происходит ионизация воздуха, образование озона, ускоренных ионов, выделение тепла. Все эти процессы приводят к постепенному разрушению изоляции и снижению электрической прочности. По форме такой разряд похож на ствол дерева с ветвями, поэтому он носит название ветвистого или дендритного разряда.

Электрохимический пробой происходит при напряжениях, меньших электрической прочности диэлектрика. Вызывается изменением химического состава и структуры диэлектрика в результате электрического старения. Имеет существенное значение при повышенных температурах и высокой влажности воздуха. Этот вид пробоя наблюдается при постоянном и переменном напряжениях низкой частоты.

5.2 Содержание и объём выполнения работы

Схема подключения оборудования для проведения лабораторной работы показана на рисунке 7.

Изучить меры по технике безопасности.

Объём проводимых на лабораторных занятиях испытаний определяет преподаватель.

Испытуемым твёрдым диэлектриком служит бумага, пропитанная трансформаторным маслом, а также сухая бумага (непропитанная). Число листов (толщина) испытуемого диэлектрика задается преподавателем.

5.3 Порядок выполнения работы

5.3.1 При выключенной установке зафиксировать между электродами испытуемый диэлектрик. Образцы испытуемых материалов помещают в горизонтальной плоскости между двумя электродами, причём размеры образцов должны быть больше размера электродов, чтобы избежать поверхностного перекрытия.

5.3.2 В соответствии с заданием преподавателя установить необходимое количество слоев испытуемого диэлектрика.

5.3.3 Вращая ручку регулятора испытательного напряжения против часовой стрелки, установить ее в исходное положение до упора.

5.3.4 Включить сетевые автоматы. Тумблером «~/–» включить необходи-

мый вид испытательного напряжения.

5.3.5 Включить испытательное напряжение кнопкой «пуск», при этом должна загореться красная сигнальная лампочка.

5.3.6 Приступить к эксперименту, плавно повышая напряжение со скоростью не более 1...2 кВ/с; в момент пробоя образца и после пробоя заметить показания киловольтметра. После пробоя записать показания вольтметра PV1 (при необходимости PA1) в таблицу 4.

5.3.7 По окончании испытания, вращая ручку регулятора испытательного напряжения против движения часовой стрелки, установить её в исходное положение до упора.

Полученные значения пробивных напряжений U_{np} , кВ, привести к нормальным атмосферным условиям по формулам (2) и (3).

Далее рассчитать электрическую прочность образца E_{np} , МВ/м, по формуле (1). Результаты измерений и расчетов сводятся в таблицу 4.

Выполнить пп. 5.3.1–5.3.7 для всех заданных преподавателем диэлектрических материалов и количества слоёв.

Таблица 4 – Результаты исследования электрической прочности твёрдого диэлектрика от толщины

Наименование диэлектрика	Число листов	Толщина h , м	U_{np} , кВ	$U_{np.0}$, кВ	E_{np} , МВ/м
Бумага непропитанная	1				
	2				
	4				
	6				
Бумага пропитанная	1				
	2				
	4				
	6				

5.4 Содержание отчета

Отчёт должен содержать:

- описание цели работы;
- краткое описание установки АВ-50/70-1, используемой в работе, ее электрическую схему;
- основные расчетные формулы;
- таблицы результатов измерений и вычислений, графики зависимостей $U_{np} = f(h)$ и $E_{np} = f(h)$;
- выводы о влиянии пропитки на электрическую прочность бумаги.

Контрольные вопросы

- 1 Назовите виды пробоев твердых диэлектриков и их характеристики.
- 2 Объясните влияние толщины твердого диэлектрика на его электрическую прочность.
- 3 Объясните влияние времени приложения напряжения к диэлектрику на его электрическую прочность.
- 4 Для чего осуществляют пропитку пористых изоляционных материалов жидкими диэлектриками?
- 5 Почему напряженность электрического поля, вызывающего перекрытие по поверхности диэлектрика, меньше электрической прочности среды между теми же электродами?
- 6 Какие виды твердых диэлектриков Вы знаете? В чем их существенное отличие друг от друга?

6 Лабораторная работа № 4. Исследование зависимости удельного электрического сопротивления сплавов от состава, строения, механической и термической обработки

Цель работы

- 1 Экспериментально определить зависимость удельного электрического сопротивления двухкомпонентных сплавов от соотношения содержания компонентов в сплаве.
- 2 Экспериментально определить удельное электрическое сопротивление меди от температуры отжига.

6.1 Краткие теоретические сведения

Проводниками называются вещества, удельное электрическое сопротивление которых лежит в пределах от 0,01 до 10 мкОм·м. По удельному электрическому сопротивлению металлические проводниковые материалы делятся на две основные группы:

- 1) металлы высокой проводимости: ρ при $t = 20 \text{ }^\circ\text{C}$ составляет не более 0,05 мкОм·м;
- 2) материалы и сплавы высокого удельного сопротивления, имеющие при тех же условиях ρ не менее 0,3 мкОм·м.

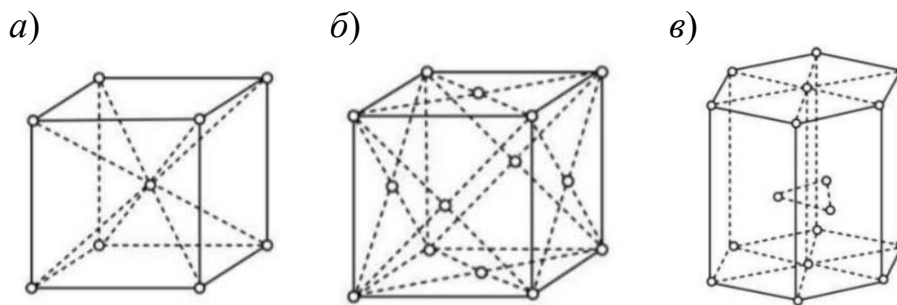
К первой группе относятся преимущественно чистые металлы (медь, алюминий, серебро и др.), применяемые для изготовления обмоточных и монтажных проводов, шнуров, жил кабелей различного напряжения, шин, распределительных устройств, обмоток трансформаторов и электрических машин (электродвигатели, стартеры, генераторы).

Проводниковые материалы второй группы – это сплавы на основе меди, никеля, железа, хрома и других металлов. Эти материалы используются для изготовления резисторов, шунтов, электронагревательных приборов, нитей ламп накаливания.

Процесс образования в металлах кристаллической решетки называется кристаллизацией. Кристаллизация металла происходит постепенно. Она объединяет два процесса, происходящих одновременно: возникновение центров кристаллизации и рост кристаллов. В процессе кристаллизации, когда растущий кристалл окружен жидкостью, он имеет правильную геометрическую форму. При столкновении растущих кристаллов их правильная форма нарушается.

В твёрдом состоянии металлы имеют кристаллическое строение. Кристаллическая решетка – это воображаемая пространственная сетка, в узлах которой расположены атомы. Наименьшая часть кристаллической решетки, определяющая структуру металла, называется элементарной кристаллической ячейкой.

Наиболее типичными формами кристаллических решёток для металлов являются: кубическая гранецентрированная (алюминий, медь, никель, свинец, золото, γ -железо и другие металлы), кубическая объёмно-центрированная (α -железо, хром, вольфрам, молибден и др.) и гексагональная плотноупакованная (кадмий, цинк, магний, бериллий, титан и др.) (рисунок 9). В узлах кристаллических решёток находятся положительные ионы.



a – кубическая объёмно-центрированная ОЦК; *б* – кубическая гранецентрированная ГЦК; *в* – гексагональная плотноупакованная

Рисунок 9 – Типы кристаллических решёток

Важнейшим параметром кристаллической решётки является компактность или степень заполненности её объёма атомами. Она определяется следующими показателями: параметр решётки, число атомов в каждой элементарной ячейке, координационное число и плотность упаковки.

Параметр решётки – это расстояние между атомами по ребру элементарной ячейки. Параметры решётки измеряются в нанометрах или ангстремах ($1 \text{ нм} = 10 \text{ \AA} = 10^{-9} \text{ м}$). Параметры кубических решёток характеризуются длиной ребра куба и обозначаются буквой *a*.

Координационное число – количество ближайших соседей данного атома.

Плотность упаковки – это отношение суммарного объёма, занимаемого собственно атомами в кристаллической решётке, к её полному объёму. Компактность решётки зависит от особенностей электронной структуры металлов и характера связи между их атомами.

Металлические сплавы – это вещества, обладающие металлическими свойствами и состоящие из двух или более элементов, из которых хотя бы один является металлом. Их получают охлаждением расплавленных смесей, совместным осаждением из газовой фазы, электроосаждением из растворов и расплавов, диффузионным насыщением. Сплавы (кроме сплавов с неорганической растворимостью компонентов в твердом состоянии) представляют системы, состоящие из нескольких фаз, находящихся в равновесии при определенных внешних условиях (температуре, давлении).

У сплавов более высокая механическая прочность, удельное электрическое сопротивление, стойкость к коррозии и т. д. Электрическое сопротивление сплава всегда выше, чем сопротивление любого его компонента. Большинство металлов, находясь в расплавленном состоянии, растворяются друг в друге, образуя жидкий раствор. При кристаллизации могут образовываться однофазные сплавы (твёрдые растворы), механические смеси и химические соединения (интерметаллиды).

Твердые растворы возникают в том случае, если атомы одного компонента могут встраиваться в кристаллическую решётку другого компонента, из которых один является растворителем, а другой – растворимым веществом.

В случае образования механических смесей компоненты взаимно растворяются только в жидком состоянии. В твердом состоянии сплавы этой системы состоят из зерен чистых компонентов, не растворяются и не вступают в химическое взаимодействие.

Химическое соединение возникает, если компоненты могут вступать в химическую реакцию друг с другом и образовывать устойчивое сложное вещество со строго определенным соотношением одного и другого компонента. Для них присуща кристаллическая решетка, отличная от решеток исходных компонентов.

6.2 Содержание и объём выполнения работы

Подготовить таблицы для внесения результатов измерений.

Объём проводимых испытаний определяет преподаватель, проводящий лабораторные занятия. Максимальный объём испытаний – наборы опытных образцов сплавов с известным содержанием компонентов (10 шт.) и набор опытного образца термической обработки меди (10 шт.).

6.3 Порядок выполнения работы

6.3.1 Для измерения электрического сопротивления при выполнении лабораторной работы используется комбинированный измерительный прибор типа Щ4311 (*или другой с аналогичными характеристиками*).

Таблица 6 – Результаты исследований твердотянутой меди от режима обработки

Геометрический размер			Температура отжига, °С	Время отжига, ч	R, Ом	ρ, мкОм·м
l, м	S, м ²	d, м				
				1		
				1		
				1		
				1		
				1		
				1		
				1		
				1		
				1		
				1		
				1		

6.4 Содержание отчёта

Отчёт должен содержать:

- цель работы;
- основные расчётные формулы и примеры вычислений с указанием размерности определяемых величин;
- таблицы результатов испытаний;
- графики зависимости удельного электрического сопротивления от процентного состава компонентов сплава $\rho = f(\% AB)$;
- сравнительную оценку полученных данных в сопоставлении со справочными данными;
- график зависимости удельного электрического сопротивления от температуры отжига;
- выводы.

Определить:

- тип кристаллической решётки исходных металлов;
- тип образованного сплава;
- влияние структуры и фазового состава на электропроводность проводниковых материалов;
- область применения исследуемых сплавов в электротехнике.

Контрольные вопросы

1 Как классифицируются проводниковые материалы по значению удельного сопротивления? Где применяются металлы высокой проводимости и сплавы высокого сопротивления?

2 Какое строение имеют металлы? Какими показателями характеризуется кристаллическая решётка?

3 Назовите основные виды кристаллических решёток для металлов, дефекты их строения.

4 Объясните, почему у чистых металлов электропроводность больше чем у сплавов.

5 Как образуются сплавы? Виды сплавов.

6 Какое влияние на электропроводность медных сплавов оказывает наличие в них примесей и почему?

7 Как изменяется удельное электрическое сопротивление сплавов, компоненты которых образуют неограниченные твёрдые растворы?

8 Какое влияние и почему оказывает пластическая деформация, сопровождающаяся наклёпом, на электропроводность металлических проводников?

9 Как изменяются механические и электрические свойства сплавов при ограниченной взаимной растворимости компонентов? Приведите пример такого сплава.

10 Как изменяются электрические и механические свойства сплавов, образующих при сплавлении механическую смесь? Приведите пример применения такого сплава.

7 Лабораторная работа № 5. Исследование электрических свойств материалов высокой проводимости и высокого сопротивления

Цель работы

1 Изучить физико-химические и механические свойства материалов высокой проводимости и сплавов высокого сопротивления.

2 Экспериментально определить зависимости электрического сопротивления, удельного электрического сопротивления и его температурного коэффициента проводниковых материалов от температуры.

3 Экспериментально определить зависимости электрического сопротивления, удельного электрического сопротивления и его температурного коэффициента резистивных сплавов от температуры.

7.1 Краткие теоретические сведения

Проводники – материалы, хорошо проводящие электрический ток. Сопротивление, а следовательно, и удельное электрическое сопротивление металлов зависит от температуры. Высокая электропроводность металлов обусловлена значительной концентрацией свободных электронов и их подвижностью. Особенностью металлов является то, что носителями заряда в них являются только электроны, причем у разных металлов их концентрация практически одинакова: $(n) = 10^{22} \dots 10^{23} \text{ см}^{-3}$. Концентрация электронов в металлических проводниках от температуры не зависит, но от температуры зависит их подвижность, меняя

время свободного пробега. С ростом температуры скорость теплового движения возрастает, а длина свободного пробега электрона уменьшается и уменьшается электропроводность.

Температурный коэффициент сопротивления TK_R или α_R , K^{-1} – величина, равная отношению относительного изменения сопротивления проводника к изменению его температуры. Температурный коэффициент сопротивления численно равен относительному изменению сопротивления проводника при нагревании на 1 К (на 1 °С).

$$\alpha_R = TK_R = \frac{1}{R_0} \cdot \frac{R_1 - R_0}{T_1 - T_0}, \quad (9)$$

или через удельное сопротивление

$$\alpha_\rho = TK_\rho = \frac{1}{\rho_0} \cdot \frac{\rho_1 - \rho_0}{T_1 - T_0}, \quad (10)$$

где α_ρ – средний температурный коэффициент удельного электрического сопротивления, $^{\circ}C^{-1}$ (K^{-1});

ρ_0 – удельное электрическое сопротивление при температуре T_0 , принятой за начальную (обычно принимают $T_0 = 20$ °С), $мкОм \cdot м$;

ρ_1 – удельное электрическое сопротивление при температуре T_1 , $мкОм \cdot м$.

Для всех металлических проводников коэффициент $\alpha_R > 0$ и незначительно меняется с изменением температуры. Если интервал изменения температуры невелик, то температурный коэффициент можно считать постоянным и равным его среднему значению на этом интервале температур. Для чистых металлов температурный коэффициент сопротивления $\alpha_R \approx 1/273 K^{-1}$.

Металлы имеют большой температурный коэффициент удельного электрического сопротивления (у большинства $40 \cdot 10^{-4} ^{\circ}C^{-1}$ и более), так что их электрическое сопротивление с температурой изменяется очень заметно. Для сплавов значение α_ρ значительно меньше ($10^{-4} \dots 10^{-6} ^{\circ}C^{-1}$). При оценке температурного коэффициента удельного электрического сопротивления следует также учитывать TK_R и TK_l . Эти температурные коэффициенты связаны между собой формулой

$$\alpha_\rho = TK_\rho = TK_R + TK_l, \quad (11)$$

где TK_R – измеренный температурный коэффициент сопротивления, $^{\circ}C^{-1}$;

TK_l – коэффициент линейного расширения металла, $^{\circ}C^{-1}$.

Для чистых металлов $TK_\rho \gg TK_l$ и можно считать $TK_\rho \approx TK_R$. Но для резистивных сплавов с особо малым значением TK_ρ значением TK_l пренебрегать нельзя.

7.2 Описание лабораторной установки

Лабораторная установка (рисунок 10) состоит из нагревательного устройства А1 1, в котором размещены исследуемые изделия 2 и 3 из различных проводниковых материалов. Они закреплены на панели из диэлектрика. На коммутационную панель 4 через соединение разъёмное (розетка XS1 – вилка XP1) подключены исследуемые образцы. Для измерения температуры внутри нагревательного устройства используется термопара ЕК1.

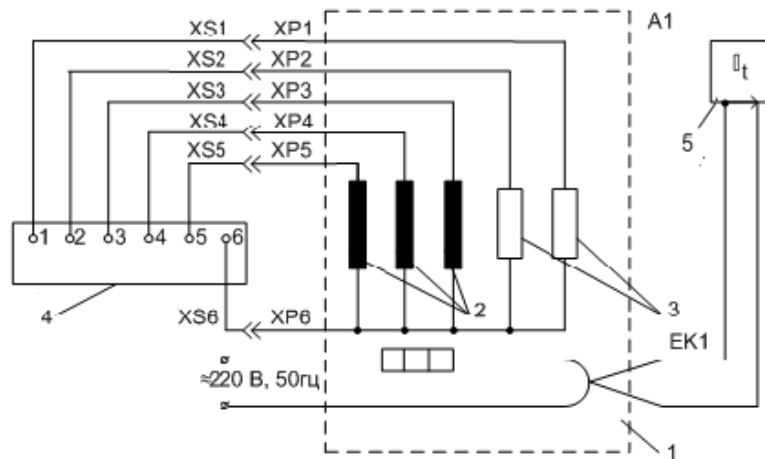


Рисунок 10 – Схема лабораторной установки

7.3 Содержание и объём выполнения работы

- 1 Ознакомиться с порядком выполнения работы.
- 2 Подготовить таблицы для внесения результатов измерений.

Объём проводимых испытаний определяет преподаватель, проводящий лабораторные занятия. Наборы опытных образцов, выполненных из металлов и сплавов, – 5 шт.

7.4 Порядок выполнения работы

7.4.1 Для измерения электрического сопротивления при выполнении лабораторной работы используется комбинированный измерительный прибор типа Щ4311 (или другой с аналогичными характеристиками).

7.4.2 Поочередно измерить сопротивление R_0 исследуемых опытных образцов при комнатной температуре $t = 20\text{ }^{\circ}\text{C}$ (планшет № 1). Длина и диаметр исследуемых образцов приведены в таблице, расположенной на стенде. Результаты измерений занести в таблицу 7.

7.4.3 По измеренному сопротивлению R_0 рассчитать удельное электрическое сопротивление ρ , пользуясь формулой (9) и используя справочные данные [1], определить название материалов, из которых они изготовлены. В дан-

ной работе используются металлы высокой проводимости и сплавы высокого сопротивления.

Таблица 7 – Результаты измерения сопротивления исследуемых образцов

Номер образца	Наименование материала	R_0 , Ом	ρ_0 , мкОм·м	l , м	D , м	S , м ²
1						
2						
3						
4						
5						

Внимание! В работе производится исследование электротехнических изделий на высокой температуре до 200 °С.

8.4.4 Включить нагревательное устройство А1 в сеть. При достижении температуры 110 °С отключить нагревательное устройство А1 от сети. Далее нагрев происходит «по инерции». Когда начинается процесс остывания и температура достигнет значения 120 °С, выполнить поочерёдное измерение образцов; измерения произвести через каждые 20 °С. Результаты измерений занести в таблицу 8.

Внимание! В работе производится исследование пяти электротехнических изделий, поэтому таблицу 8 необходимо выполнить соответственно 5 раз.

Таблица 8 – Результаты измерения сопротивления исследуемых материалов при изменении температуры

Исследуемый образец	Температура, °С					
	20	40	60	80	100	120
R , Ом						
ρ , мкОм·м (экспер.)						
ρ , мкОм·м (теорет. для металлов)						
α_R , С ⁻¹ (для сплавов)						
α_ρ , С ⁻¹ (теорет. для металлов)						
α_ρ , С ⁻¹ (экспер.)						

7.4.5 По результатам измерений и данным таблиц 7 и 8 рассчитать по формуле (8) для металлов и сплавов удельное электрическое сопротивление (экспериментальное значение) при различных температурах. Результаты расчётов занести в таблицу 8.

7.4.6 Для металлов рассчитать теоретическое удельное сопротивление для различных температур (значение коэффициента теплопроводности (λ) взять из [1]). Результаты расчётов занести в таблицу 8.

$$\lambda/\gamma = L_0 \cdot T, \quad (12)$$

где γ – удельная электрическая проводимость металлов, См/м;

λ – коэффициент теплопроводности, Вт/(м·К);

L_0 – число Лоренца, $L_0 = 2,443 \cdot 10^{-8} \text{ В}^2/\text{К}^2$;

T – абсолютная температура, К.

7.4.7 Используя формулу (9), рассчитать температурный коэффициент удельного электрического сопротивления α_ρ для металлов и сплавов. Результаты расчётов занести в таблицу 8.

7.4.8 Используя формулу (10), рассчитать температурный коэффициент электрического сопротивления α_R для сплавов. Результаты расчётов занести в таблицу 8.

7.4.9 По данным таблицы 8 и расчётов в пп. 7.4.5–7.4.8 построить для металлов и сплавов графики зависимости удельного сопротивления от температуры $\rho = f(T)$, графики зависимости температурного коэффициента удельного сопротивления от температуры $TK_\rho = f(T)$ по экспериментальным и теоретическим данным.

7.5 Содержание отчета

Отчет о работе должен содержать:

- цель работы;
- схему лабораторной установки;
- основные расчётные формулы и примеры вычислений с указанием размерности определяемых величин для каждой таблицы;
- график зависимости удельного сопротивления от температуры $\rho = f(T)$ и график зависимости температурного коэффициента удельного сопротивления от температуры $TK_\rho = f(T)$ по экспериментальным и теоретическим данным для металлов высокой проводимости;
- график зависимости удельного сопротивления от температуры $\rho = f(T)$ и график зависимости температурного коэффициента удельного сопротивления от температуры $TK_\rho = f(T)$ по экспериментальным данным для сплавов высокого сопротивления;
- сравнительную оценку полученных данных в сопоставлении со справочными данными;
- выводы.

Контрольные вопросы

1 Что собой представляет температурный коэффициент удельного электрического сопротивления? Является ли он константой для данного металла? Чем он отличается от температурного коэффициента сопротивления?

2 Объясните зависимость удельного электрического сопротивления тонких металлических пленок от их толщины.

3 Объясните, почему удельное сопротивление металлов растет с повышением температуры.

4 Почему тонкие металлические пленки имеют отрицательный температурный коэффициент удельного сопротивления?

5 Какие медные и алюминиевые сплавы применяются в электротехнике? Область их применения и основные свойства.

6 Сравните электрические и физические свойства меди и алюминия.

7 Что представляют собой жаростойкие проводниковые материалы и где они применяются?

8 Что собой представляют бронзы? Маркировка и применение бронз в электротехнике.

9 Из каких материалов изготавливаются образцовые резисторы, шунты и добавочные сопротивления? Какие требования предъявляются к этим материалам?

10 Какие металлы могут образовывать оксидную пленку? Дайте определение коэффициенту оксидирования.

8 Лабораторная работа № 6. Исследование магнитных свойств материалов с помощью осциллографа

Цель работы

1 Изучить магнитные свойства магнитомягких материалов.

2 Определить основные характеристики магнитомягких материалов: снятие кривой намагничивания и гистерезисных циклов на переменном токе промышленной частоты и определить потери на гистерезис и вихревые токи.

8.1 Краткие теоретические сведения

Магнитные свойства имеются у любых материалов. Глобально, по отношению к магнитному полю, материалы можно разделить на три класса – диамагнетики, парамагнетики, ферромагнетики. Последние делятся на ферромагнетики, антиферромагнетики и ферримагнетики. Ферро- и ферримагнетики относятся к сильномагнитным материалам, остальные группы – к слабомагнитным веществам.

Диамагнетики – материалы, атомы, молекулы которых под воздействием внешнего магнитного поля создают магнитный момент, направленный в сторону, обратную внешнему полю, т. е. обладающие отрицательной магнитной восприимчивостью. К диамагнетикам относятся все инертные газы, водород, азот, хлор, ряд металлов (цинк, золото, ртуть и др.), неметаллы (кремний, фосфор, сера и т. д.), а также дерево, мрамор, стекло, воск, вода и т. п.

У парамагнетиков при отсутствии внешнего поля векторы магнитных моментов атомов под действием тепловой энергии располагаются равновероятно, в результате чего результирующий магнитный момент равен нулю.

Под действием внешнего магнитного поля магнитные моменты преимущественно ориентируются с направлением внешнего поля, т. е. появляется положительная намагниченность.

К парамагнетикам относятся отдельные газы (кислород, окиси азота и др.), ряд металлов (щелочные металлы, титан, цирконий и т. п.) и др.

Ферромагнетики – материалы, находящиеся при температуре не выше точки Кюри даже в отсутствие внешнего магнитного поля в состоянии технического насыщения. Магнитная восприимчивость их имеет очень большое положительное значение и существенно зависит от напряженности магнитного поля и температуры. К ферромагнетикам относятся железо, никель, кобальт, их соединения и сплавы, а также некоторые сплавы марганца, серебра, алюминия и др.

Антиферромагнетики – материалы, в которых в результате обменного взаимодействия соседних атомов происходит антипараллельная ориентация равных по величине магнитных моментов, т. е. результирующий магнитный момент равен нулю. К антиферромагнетикам относятся хром, марганец, цезий, неодим, самарий и др.

Ферримагнетики – вещества с нескомпенсированным антиферромагнетизмом. К ферримагнетикам относятся некоторые упорядоченные металлические и различные оксидные соединения. В настоящее время используются типы марок ферритов, отличающихся по химическому составу, кристаллической структуре, магнитным и другим свойствам. Магнитные материалы, применяемые в технике, разделяют на две основные группы: магнитомягкие и магнитотвердые. Оба термина не относятся к характеристике механических свойств материала.

Характерной особенностью магнитомягких материалов является их способность намагничиваться до насыщения даже в слабых полях. Эти материалы подразделяют на технически чистое железо (низкоуглеродистая электротехническая сталь), электротехнические (кремнистые) стали, пермаллои (сплав железа с никелем или кобальтом), магнитомягкие ферриты и магнитодиэлектрики. Магнитомягкие материалы имеют узкую петлю гистерезиса с небольшой коэрцитивной силой, а магнитотвердые – широкую, но эта классификация условная.

Магнитные свойства магнитомягких материалов характеризуются зависимостями магнитной индукции B от напряженности магнитного поля H : $B = f(H)$, которую называют кривой намагничивания. Эта характеристика зависит от H , температуры и механических напряжений предшествующего магнитного состояния. В качестве исходного для получения кривой намагничивания принимают размагниченное состояние образца.

Различают кривые намагничивания на постоянном (статические) и переменном (динамические) токах. Статическая кривая намагничивания характеризует магнитные свойства стали, т. к. в данном случае все сечение листов магнитопровода равномерно заполнено магнитной индукцией. Динамическая кривая намагничивания характеризует свойства данного конкретного магнитопровода в силу неравномерного распределения индукции по сечению стальных листов.

При циклическом перемагничивании (в переменном магнитном поле) кривая намагничивания образует петлю гистерезиса. Причинами гистерезиса

являются необратимые процессы смещения границ доменов и процессы вращения. По кривым намагничивания определяют магнитные проницаемости вещества.

Другой характеристикой материалов при намагничивании их переменным полем являются потери мощности, обусловленные протеканием в материале вихревых токов (токов проводимости материалов). Величина этих токов зависит от магнитных характеристик, петли гистерезиса, электропроводности вещества и напряженности внешнего магнитного поля.

8.2 Описание испытательной установки

При испытаниях магнитных материалов в большинстве случаев необходимо измерять напряженность магнитного поля, магнитную индукцию и потери на перемагничивание. Для этих целей используются различные методы, приборы и образцы магнитных материалов. При снятии на переменном токе получают динамические кривые намагничивания и динамическую петлю гистерезиса. При низких частотах и малой толщине магнитного материала динамическая кривая намагничивания совпадает со статической. Одним из распространенных методов измерения магнитных свойств ферромагнитных веществ является осциллографический метод.

Схема лабораторной установки для испытания магнитомягких материалов приведена на рисунке 11, а сведения об образцах и параметрах элементов схемы – в таблице, представленной на стенде.

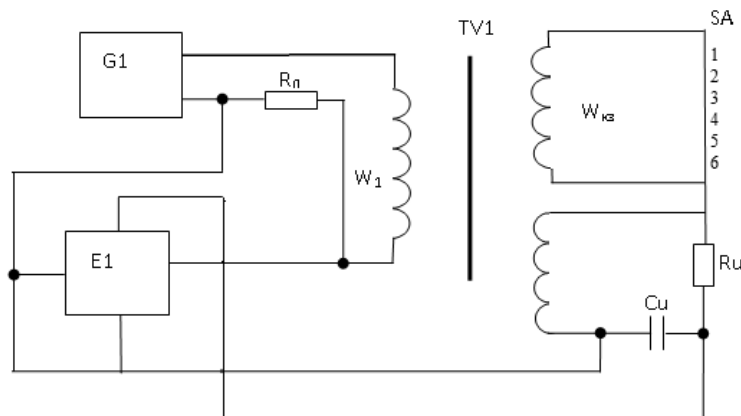


Рисунок 11 – Схема лабораторной установки для исследования магнитных свойств ферромагнитных материалов

Лабораторная установка содержит:

$G1$ – генератор переменного напряжения звуковой частоты типа ГЗ-18;

$TV1$ – трансформатор с тороидальным магнитным сердечником, изготовленный из исследуемого материала;

R_0 – образцовый резистор;

Cu, Ru – интегрирующая цепочка;

$W_{kз}$ – короткозамкнутые витки;

S – переключатель для подключения короткозамкнутых витков;

$E1$ – осциллограф.

На каждый из образцов намотаны три обмотки: $W1$ – намагничивающая обмотка, $W2$ – измерительная и $W3$ – короткозамкнутая.

Для получения на экране осциллографа записи петли гистерезиса необходимо подать на вертикально отклоняющие пластины электронно-лучевой трубки напряжение, пропорциональное индукции в исследуемом образце, на горизонтально отклоняющие пластины – напряжение, пропорциональное намагничивающему полю.

На пластины горизонтального отклонения осциллографа $E1$ подаётся напряжение с R_0 . Оно пропорционально току в намагничивающей обмотке W_1 . Отклонение луча в горизонтальном направлении пропорционально амплитудному значению тока, а значит, и амплитудному значению напряженности поля. Ось X называется осью напряженности магнитного поля. В измерительной обмотке W_2 образца под действием магнитного поля возникает вторичная ЭДС. К пластинам вертикального отклонения осциллографа $E1$ приложено напряжение U_c , снимаемое с конденсатора C_u интегрирующей цепочки. На вертикальную ось осциллографа подается напряжение пропорционально индукции в образце магнитного материала. При одновременном приложении этих напряжений к пластинам осциллографа на экране возникает неподвижное изображение петли гистерезиса.

8.3 Содержание и объём выполнения работы

1 Собрать схему лабораторной установки для исследования магнитных свойств.

2 Изучить расположение и назначение переключателей установки, выходов сигналов напряженности и средней индукции магнитного поля, а также входных зажимов осциллографа.

3 Подготовить таблицы для внесения результатов измерений.

4 Получить семейство гистерезисных циклов и динамическую кривую намагничивания электротехнической стали.

5 Составить отчет по лабораторной работе.

8.4 Порядок выполнения работы

8.4.1 Собрать схему лабораторной установки по рисунку 11, соединить зажимы X и 3 (земля) пульты с зажимами горизонтального входа осциллографа $E1$, а зажимы Y и 3 (земля) – с зажимами вертикального входа. Для исследования образца переключатель SA на установке поставить в положение 0 . Установить предел шкалы ослабления генератора $G1$ – $+30$ dB , предел шкалы вольтметра – 60 V .

Получить разрешение преподавателя на включение установки под напряжение.

8.4.2 Включить осциллограф E1 и генератор G1, установить частоту 50 Гц. Установить напряжение 60 В с таким расчетом, чтобы довести образец до насыщения и ручками смещения осциллографа откорректировать изображение цикла гистерезиса так, чтобы положения вершин цикла были удобны для отсчета. Зарисовать цикл магнитного гистерезиса с соблюдением масштаба и записать полное отклонение луча на экране осциллографа по горизонтали X и вертикали Y в миллиметрах.

Внимание! При всех дальнейших измерениях ручки горизонтального и вертикального усиления не трогать.

8.4.3 С помощью регулятора выходного напряжения уменьшить ступенями через 6 В напряжение на выходе ГЗ-18 от 60 В до нуля. Получить семейство петель гистерезиса. При каждом новом значении напряжения записать величины X и Y в таблицу 9. Таблица 9 состоит из 10 строк.

Таблица 9 – Основная кривая намагничивания ферромагнетика

Материал	f , Гц	X , мм	H , А/м	Y , мм	B , Тл	μ

8.4.4 Влияние короткозамкнутых витков на петлю гистерезиса. Получить на экране осциллографа изображение цикла магнитного гистерезиса так, как это указано в п. 8.4.2, и зарисовать его. Затем переключателем SA увеличивать число короткозамкнутых витков, наблюдая за изменением гистерезисного цикла. На том же графике зарисовать цикл гистерезиса при шести короткозамкнутых витках. Рассчитать площадь для каждого гистерезисного цикла. Рассчитанные результаты занести в таблицу 10. Перевести переключатель SA в положение 0. Оценить качественное влияние короткозамкнутых витков на ширину и высоту гистерезисного цикла.

8.4.5 Влияние частоты приложенного напряжения на гистерезисный цикл. Установить частоту 100 Гц. При напряженности магнитного поля, соответствующей первоначальному гистерезисному циклу, зарисовать на кальку или сфотографировать полученный гистерезисный цикл. То же самое повторяют для частот 200, 300, 400, 500, 600, 800 и 1000 Гц. Рассчитать площадь для каждого гистерезисного цикла и результаты занести в таблицу 10. Таблица 10 состоит из 15 строк.

Таблица 10 – Результаты определения потерь в образце ферромагнетика

Материал	f , Гц	$W_{кз}$	S_n , м ²	ρ_1 , кг/м ³	$P_{уд}$, Вт/кг

8.4.6 Градуировка осей горизонтального и вертикального отклонений осциллографа. Градуировка проводится для определения истинных значений магнитной индукции и напряжённости магнитного поля. Установить выход-

ное напряжение генератора G1 равным 0, частоту – 50 Гц. Отсоединить осциллограф и генератор от пульта с образцом материала. Соединить выход генератора ГЗ-18 с горизонтальным входом X осциллографа Е1, зажимы вертикального входа осциллографа закоротить. Далее с помощью регулятора повысить выходное напряжение генератора так, чтобы максимальное отклонение луча точно соответствовало отклонению по горизонтальной оси, полученному при наблюдении гистерезисного цикла на частоте 50 Гц. Полученное значение напряжения U_H занести в таблицу 11.

Таблица 11– Результаты градуировки горизонтальной оси осциллографа

Материал	W_1	$U_H, В$	$R_0, Ом$	$r_{cp}, м$	$X, мм$	$h_1, (А/м)/мм$
	250		50	0,03		

Вычислить масштаб горизонтальной оси осциллографа по формуле

$$h_1 = \frac{0,22 \cdot W_1 \cdot U_n}{R_0 \cdot r_{cp} \cdot X}, \quad (13)$$

где h_1 – масштаб горизонтальной оси, (А/м)/мм;

W_1 – число витков первичной обмотки на образце испытуемого ферромагнитного материала;

U_H – напряжение, В;

R_0 – образцовое сопротивление, Ом;

r_{cp} – средний радиус образца, м;

X – число миллиметров, на которое отклоняется луч под воздействием напряжения U_H при градуировке, мм.

8.4.7 Установить выходное напряжение генератора G1 на отметке 0. Произвести градуировку вертикальной оси осциллографа Е1 аналогичным образом, с тем отличием, что закорачивают горизонтальный вход осциллографа. Полученное значение напряжения U_B генератора записать в таблицу 12.

Таблица 12 – Результаты градуировки вертикальной оси осциллографа

Материал	W_2	$U_B, В$	$C_u, мкФ$	$R_u, кОм$	$S, м^2$	$Y, мм$	$b_1, Тл/мм$
	850		1	20	10^{-4}		

Вычислить масштаб вертикальной оси осциллографа по формуле

$$b_1 = (1,41 \cdot U_B \cdot C_u \cdot R_u) / (W_2 \cdot S \cdot Y), \quad (14)$$

где b_1 – масштаб вертикальной оси, Тл/мм;

U_B – напряжение, В;

C_u – значение емкости конденсатора интегрирующей цепочки, Ф;

R_u – сопротивление интегрирующей цепочки, Ом;

W_2 – число витков вторичной обмотке на образце испытуемого ферромагнитного материала;

S – площадь сечения испытуемого образца, м²;

Y – число миллиметров, на которое отклоняется луч осциллографа под воздействием напряжения U_B при градуировке, мм.

8.4.8 По данным таблиц 9–12 определить значения B и H по следующим формулам:

$$B = Y \cdot b_1; \quad (15)$$

$$H = X \cdot h_1, \quad (16)$$

где B – магнитная индукция, Тл;

H – напряженность магнитного поля, А/м.

Рассчитать относительную магнитную проницаемость:

$$\mu = \frac{B}{\mu_0 \cdot H}, \quad \mu_0 = 4\pi \cdot 10^{-7} \text{ Гн/м}. \quad (17)$$

По полученным данным построить зависимость $B = f(H)$, $\mu = f(H)$.

Определить потери на гистерезис и вихревые токи.

Удельные потери в образце за один период определяют по формуле

$$P_{y\delta} = \frac{S_n \cdot h_1 \cdot b_1}{\rho \cdot 10^{-6}} f, \quad (18)$$

где $P_{y\delta}$ – удельные потери за один период, Дж/кг;

S_n – площадь гистерезисной петли, м²;

ρ – плотность материала образца, кг/м³;

f – частота питающего напряжения, Гц.

Удельные потери в образце определяются для каждой петли гистерезиса, а по полученным данным строят зависимость $P_{y\delta} = f(B)$.

8.5 Содержание отчёта

Отчет о работе должен содержать:

– цель работы;

– схему установки;

– рисунки предельных циклов гистерезиса;

– результаты наблюдений и вычислений в виде таблиц, отдельных записей, а также формулы и расчеты;

- описание материалов, с которыми ознакомился студент в данной работе (тип, состав, применение);
- графики зависимости $B = f(H)$, $\mu = f(H)$ и $P_{y\delta} = f(B)$.

Контрольные вопросы

- 1 Назовите основные характеристики магнитомягких материалов.
- 2 Как в данной работе получают основную кривую намагничивания?
- 3 Чем отличаются статические кривые намагничивания от динамических? Какие кривые снимались в данной работе?
- 4 Почему для испытания берут образец в виде тора?
- 5 Назовите состав, свойства и область применения ферритов.
- 6 Назовите магнитомягкие ферромагнетики. Какова технология изготовления изделий из этих материалов?
- 7 Назовите основные механизмы намагничивания ферромагнетика, приводящие к нелинейной зависимости магнитной индукции от напряженности магнитного поля.
- 8 Как определяются потери по снятой петле гистерезиса?
- 9 Как зависит форма петли гистерезиса от частоты?
- 10 Какие виды потерь возникают в магнитных материалах? Укажите способы их уменьшения.
- 11 Какие материалы применяют на повышенных частотах?

9 Лабораторная работа № 7. Изучение неметаллических материалов

Цель работы

- 1 Ознакомиться с внешним видом наиболее распространённых неметаллических материалов. Изучить область применения данных материалов.
- 2 Описать физико-химические, электрические и тепловые свойства представленных материалов.

9.1 Краткие теоретические сведения о пластмассах, лаках и резинах

Пластмассы представляют собой изделия, получаемые из прессовочных порошков, которые под воздействием температуры и давления размягчаются и приобретают свойства пластического течения. Применяются в автомобилестроении и электротехнике в качестве электроизоляционных и конструкционных материалов.

По составу пластмассы представляют собой композицию из связующего и наполнителя.

В качестве связующего используются полимерные материалы, способные деформироваться под воздействием давления (синтетические смолы – резольные, эпоксидные, фенолформальдегидные, кремнийорганические и др.), которые пропитывают наполнители и другие компоненты пластмасс, придают им пластичность и обеспечивают монолитность получаемых изделий.

Наполнители – порошкообразные или волокнистые вещества (мелкие опилки, хлопчатобумажные, асбестовые, стеклянные волокна, древесина, слюда, бумага, ткань) повышают механическую прочность, уменьшают объемную усадку пластмассовых изделий, хрупкость, повышают стойкость к воздействию различных сред, но ухудшают электроизоляционные свойства и гигроскопичность.

Кроме наполнителя и связующего, в состав пластмасс входят пластификаторы, стабилизаторы (ингибиторы), смазывающие вещества (стеарин, олеиновая кислота), отвердители, красители, катализаторы.

Методы получения деталей из пластмасс:

- прессование;
- литье под давлением (пресс-литье);
- литье без давления;
- выдавливание;
- выдувание;

В зависимости от вида связующего различают пластмассы горячей прессовки – требуют при прессовке нагрева, холодной прессовки – прессуют при нормальной температуре.

Для изготовления автомобильных деталей применяются пластмассы, полученные на основе как термопластичных, так и термореактивных смол или же их смесей

Полиамиды. Из полиамидов, в том числе из капрона, изготавливают большое количество разнообразных автомобильных деталей: втулки (педаль, дверных петель, рессор и др.), манжеты, стеклодержатели, патроны ламп, выключатели, вкладыши, корпуса сальников, шестерни (привода спидометра), корпуса габаритных фонарей, корпуса и крышки карбюратора, оконные рамы автобусов, детали сливного краника.

Поливинилхлориды. Винилпласты (непластифицированный поливинилхлорид) применяют для изготовления банок аккумуляторных батарей, прокладок, уплотнителей, внутренней обшивки кузова. Пластифицированный поливинилхлорид используется для получения обивочных материалов.

Полиэтилен получают реакцией полимеризации. В зависимости от проведения химической реакции (температура, давления и присутствие катализатора) получают полиэтилен высокого, низкого и среднего давления (ВД, СД, НД).

Из полиэтилена ВД изготавливают крышки, кнопки, осветительные плафоны, трубки, прокладки и другие детали, а также плёнку, на основе которой получают драпировочные и обивочные ткани для сидений и спинок. Полиэтилен НД в порошкообразном виде используют для газопламенного напыления.

Фторопласты используют для изготовления деталей, работающих при высоких температурах и химически агрессивных средах. Исключительно высокие

антифрикционные свойства фторопластов не всегда могут быть использованы, т. к. этот пластический материал неработоспособен при значительных удельных давлениях и линейных скоростях в подшипнике.

Из полистирола изготавливают стёкла приборов освещения, сигнальные стёкла, кнопки, детали электроарматуры.

Гетинакс применяется для изготовления изоляционных деталей электрооборудования.

Стеклопластиковое волокно используется для изготовления тепло- и звукоизоляционных прокладок.

Из текстолита изготавливают изоляционные детали приборов электрооборудования, а также шестерни и упорные шайбы распределительного вала.

Лакокрасочные материалы выполняют две функции – защитную и декоративную, т. е. техническую и эстетическую. При нанесении на окрашиваемую поверхность они создают плёнку, которая защищает металлические изделия от коррозии, а деревянные – от гниения: они сообщают поверхности различные свойства (электроизоляционные, теплозащитные и др.) и придают поверхности декоративный вид.

К лакокрасочным материалам предъявляются определённые требования: высокая адгезия к защищаемым поверхностям, теплостойкость и химическая устойчивость, водонепроницаемость, светостойкость, гладкость, твёрдость и эластичность плёнки, хорошие защитные свойства.

К используемым в автотранспорте основным лакокрасочным материалам относятся грунтовка, шпатлёвка и эмали и лаки.

Резины используют для изготовления опор двигателя, шлангов в системе охлаждения, питания, смазки, отопления, вентиляции, а также ремней привода вентилятора, генератора, компрессора, водяного насоса, уплотнителей кузова и кабин, втулок, манжет, шлангов, чехлов, диафрагм тормозной системы, деталей пневматической подвески, амортизирующих прокладок и втулок, коврик для пола кабины и др.

Готовые резины делятся на две группы – общего и специального назначения. Резины общего назначения изготавливаются на основе натурального каучука, бутадиеновых, изопреновых, бутадиен-стирольных, бутилкаучуков и их комбинаций.

9.2 Содержание и порядок выполнения работы

1 Ознакомиться с представленными на лабораторных стендах неметаллическими материалами. Записать механические, физико-химические и электрические характеристики указанных преподавателем материалов, указать область их применения, достоинства и недостатки. Определить класс нагревостойкости материалов.

2 Определить термопластичные и термореактивные материалы.

9.3 Содержание отчёта

Отчет о работе должен содержать:

- цель работы;
- описание процесса изготовления изделий из пластмассы;
- описание основных физико-химических, электрических и тепловых свойств данного материала.

Отчет представляется рефератом и презентацией.

Контрольные вопросы

- 1 Как характеризуются термопластичные полимеры?
- 2 Какими свойствами обладают терморезистивные полимеры?
- 3 Каким образом достигается улучшение свойств полимерных материалов?
- 4 Какие компоненты входят в состав пластмасс и как они влияют на свойства пластмасс?
- 5 В чём заключается процесс вулканизации резины?
- 6 Какие компоненты могут входить в состав резин? Их назначение.
- 7 Какие существуют виды резин?
- 8 Каким образом классифицируются лакокрасочные материалы?
- 9 Назовите основные компоненты лакокрасочных материалов.
- 10 Какие существуют способы покрытия лакокрасочных материалов?

Список литературы

- 1 **Черепяхин, А. А.** Электротехническое и конструкционное материаловедение: учебник / А. А. Черепяхин, Т. И. Балькова, А. А. Смолькин. – Ростов-на-Дону: Феникс, 2017. – 349 с.
- 2 **Колесов, С. Н.** Материаловедение и технология конструкционных материалов / С. Н. Колесов, И. С. Колесов. – Москва: Высшая школа, 2005. – 520 с.: ил.
- 3 **Пасынков, В. В.** Материалы электронной техники / В. В. Пасынков, В. С. Сорокин. – 3-е изд. – Санкт-Петербург: Лань, 2001. – 368 с.
- 4 **Привалов, Е. Е.** Электротехническое материаловедение: учебное пособие / Е. Е. Привалов. – Москва; Берлин: Директ-Медиа, 2015. – 234 с.
- 5 **Богородицкий, Н. П.** Электротехнические материалы / Н. П. Богородицкий, В. В. Пасынков, Б. М. Тареев. – Ленинград: Энергоатомиздат, 1985. – 304 с.
- 6 Электротехнические и конструкционные материалы : учебное пособие / В. Н. Бородулин [и др.]; под ред. В. А. Филикова. – 7-е изд., испр. – Москва: Академия, 2012. – 280 с.
- 7 **Петрова, Л. Г.** Электротехнические материалы: учебное пособие / Л. Г. Петрова, М. А. Потапов, О. В. Чудина. – Москва: МАДИ (ГТУ), 2008. – 198 с.

8 **Антипов, Б. Л.** Материалы электронной техники. Задачи и вопросы / Б. Л. Антипов, В. С. Сорокин, В. А. Терехов. – Москва: Высшая школа, 1990. – 208 с.: ил.

9 Справочник по электротехническим материалам / Под ред. Ю. В. Корицкого [и др.]. – Москва: Энергоатомиздат, 1987. – Т. 1–3.